

Eingabe: Farbmetrisches Drucker-Reflektiv-System FRS06

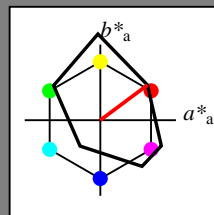
für Buntton $h^* = lab \cdot h = 37/360 = 0.102$

$lab \cdot tch$ und $lab \cdot nch$

D65: Buntton O

LCH*Ma: 33 78 37

olv*Ma: 1.0 0.0 0.0



FRS06; adaptierte CIELAB-Daten

	$L^*=L_a^*$	a_a^*	b_a^*	$C_{ab,a}^*$	$h_{ab,a}^*$
O _m	32.57	62.32	46.49	77.75	37
Y _m	82.73	-3.16	113.99	114.03	92
L _m	39.43	-61.79	45.84	76.95	143
C _m	47.86	-26.79	-34.24	43.49	232
V _m	10.16	55.12	-61.03	82.24	312
M _m	34.5	80.68	-33.92	87.52	337
N _m	6.25	0.0	0.0	0.0	0
W _m	91.97	0.0	0.0	0.0	0
R _{CIE}	39.92	59.8	31.05	67.38	27
J _{CIE}	81.26	-2.52	76.25	76.29	92
G _{CIE}	52.23	-41.56	17.14	44.96	158
B _{CIE}	30.57	2.63	-43.77	43.86	273

Dreiecks-Helligkeit t^*

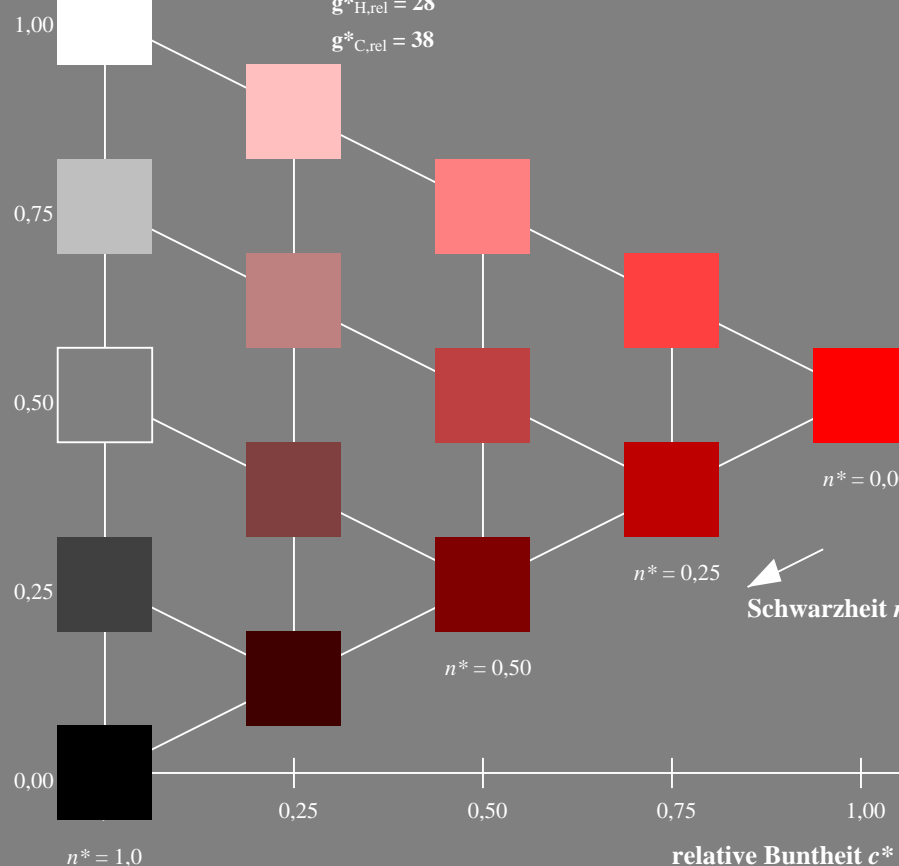
%Umfang

$u_{rel}^* = 115$

%Regularität

$g_{H,rel}^* = 28$

$g_{C,rel}^* = 38$



VG220-7, 5 stufige Reihen für konstanten CIELAB Buntton 37/360 = 0.102 (links)

Ausgabe: Farbmetrisches Drucker-Reflektiv-System FRS06

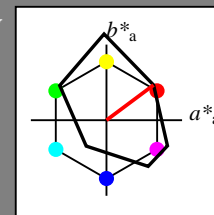
für Buntton $h^* = lab \cdot h = 37/360 = 0.102$

$LAB \cdot LCH$, $LAB \cdot NCH$

D65: Buntton O

LCH*Ma: 33 78 37

olv*Ma: 1.0 0.0 0.0



FRS06; adaptierte CIELAB-Daten

	$L^*=L_a^*$	a_a^*	b_a^*	$C_{ab,a}^*$	$h_{ab,a}^*$
O _m	32.57	62.32	46.49	77.75	37
Y _m	82.73	-3.16	113.99	114.03	92
L _m	39.43	-61.79	45.84	76.95	143
C _m	47.86	-26.79	-34.24	43.49	232
V _m	10.16	55.12	-61.03	82.24	312
M _m	34.5	80.68	-33.92	87.52	337
N _m	6.25	0.0	0.0	0.0	0
W _m	91.97	0.0	0.0	0.0	0
R _{CIE}	39.92	59.8	31.05	67.38	27
J _{CIE}	81.26	-2.52	76.25	76.29	92
G _{CIE}	52.23	-41.56	17.14	44.96	158
B _{CIE}	30.57	2.63	-43.77	43.86	273

CIELAB-Helligkeit L^*

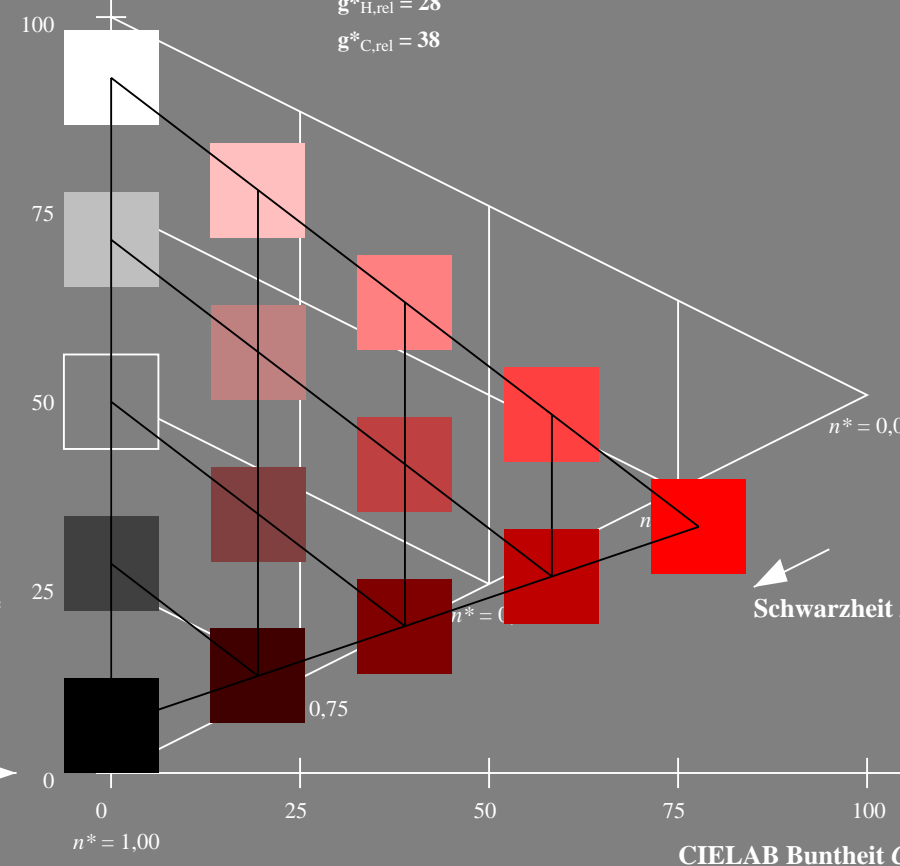
%Umfang

$u_{rel}^* = 115$

%Regularität

$g_{H,rel}^* = 28$

$g_{C,rel}^* = 38$



5 stufige Reihen für konstanten CIELAB Buntton 37/360 = 0.102 (rechts)

BAM-Prüfvorlage VG22; Farbmetrik-Systeme FRS06 & FRS06 input: olv* setrgbcolor

D65: Koordinatensysteme; 5stufige Farbreihen für 10 Bunttöne output: no change compared to input

Eingabe: Farbmétrisches Drucker-Reflektiv-System FRS06

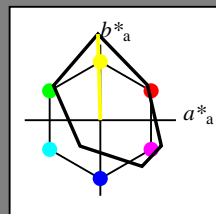
für Buntton $h^* = lab \cdot h = 92/360 = 0.254$

$lab \cdot tch$ und $lab \cdot nch$

D65: Buntton Y

LCH*Ma: 83 114 92

olv*Ma: 1.0 1.0 0.0



FRS06; adaptierte CIELAB-Daten

	$L^*=L^*_a$	a^*_a	b^*_a	$C^*_{ab,a}$	$h^*_{ab,a}$
O _m	32.57	62.32	46.49	77.75	37
Y _m	82.73	-3.16	113.99	114.03	92
L _m	39.43	-61.79	45.84	76.95	143
C _m	47.86	-26.79	-34.24	43.49	232
V _m	10.16	55.12	-61.03	82.24	312
M _m	34.5	80.68	-33.92	87.52	337
N _m	6.25	0.0	0.0	0.0	0
W _m	91.97	0.0	0.0	0.0	0
R _{CIE}	39.92	59.8	31.05	67.38	27
J _{CIE}	81.26	-2.52	76.25	76.29	92
G _{CIE}	52.23	-41.56	17.14	44.96	158
B _{CIE}	30.57	2.63	-43.77	43.86	273

Dreiecks-Helligkeit t^*

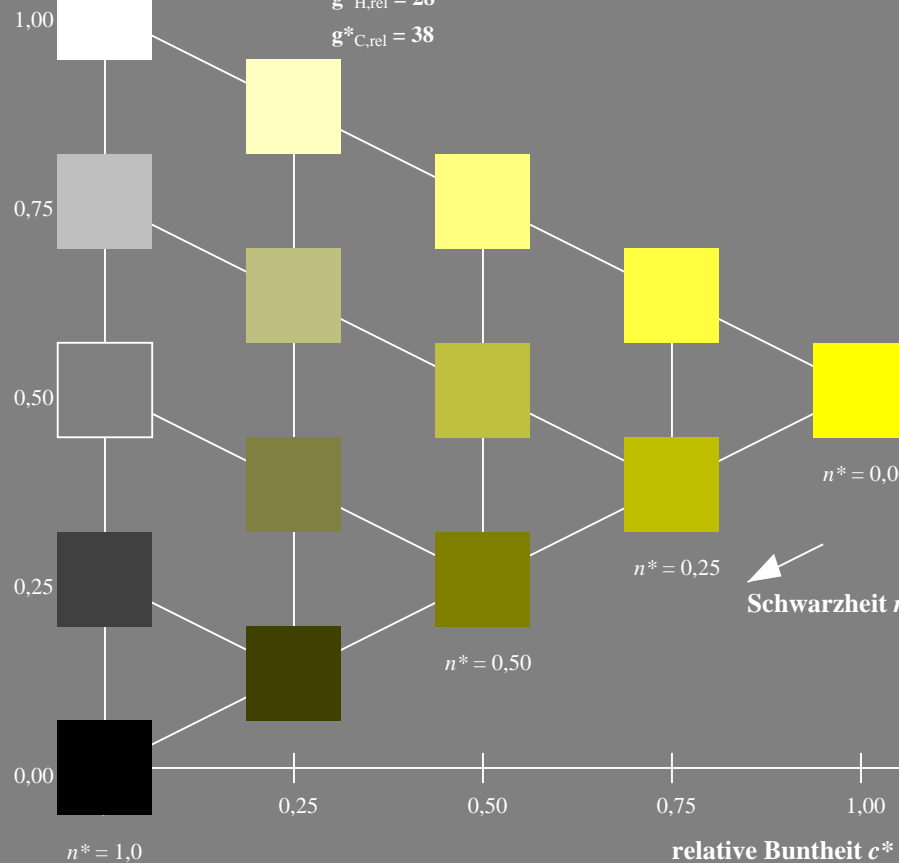
%Umfang

$u^*_{rel} = 115$

%Regularität

$g^*_{H,rel} = 28$

$g^*_{C,rel} = 38$



VG220-7, 5 stufige Reihen für konstanten CIELAB Buntton $92/360 = 0.254$ (links)

Ausgabe: Farbmétrisches Drucker-Reflektiv-System FRS06

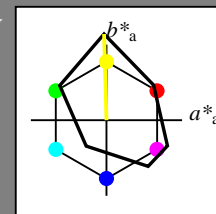
für Buntton $h^* = lab \cdot h = 92/360 = 0.254$

$LAB \cdot LCH$, $LAB \cdot NCH$

D65: Buntton Y

LCH*Ma: 83 114 92

olv*Ma: 1.0 1.0 0.0



FRS06; adaptierte CIELAB-Daten

	$L^*=L^*_a$	a^*_a	b^*_a	$C^*_{ab,a}$	$h^*_{ab,a}$
O _m	32.57	62.32	46.49	77.75	37
Y _m	82.73	-3.16	113.99	114.03	92
L _m	39.43	-61.79	45.84	76.95	143
C _m	47.86	-26.79	-34.24	43.49	232
V _m	10.16	55.12	-61.03	82.24	312
M _m	34.5	80.68	-33.92	87.52	337
N _m	6.25	0.0	0.0	0.0	0
W _m	91.97	0.0	0.0	0.0	0
R _{CIE}	39.92	59.8	31.05	67.38	27
J _{CIE}	81.26	-2.52	76.25	76.29	92
G _{CIE}	52.23	-41.56	17.14	44.96	158
B _{CIE}	30.57	2.63	-43.77	43.86	273

CIELAB-Helligkeit L^*

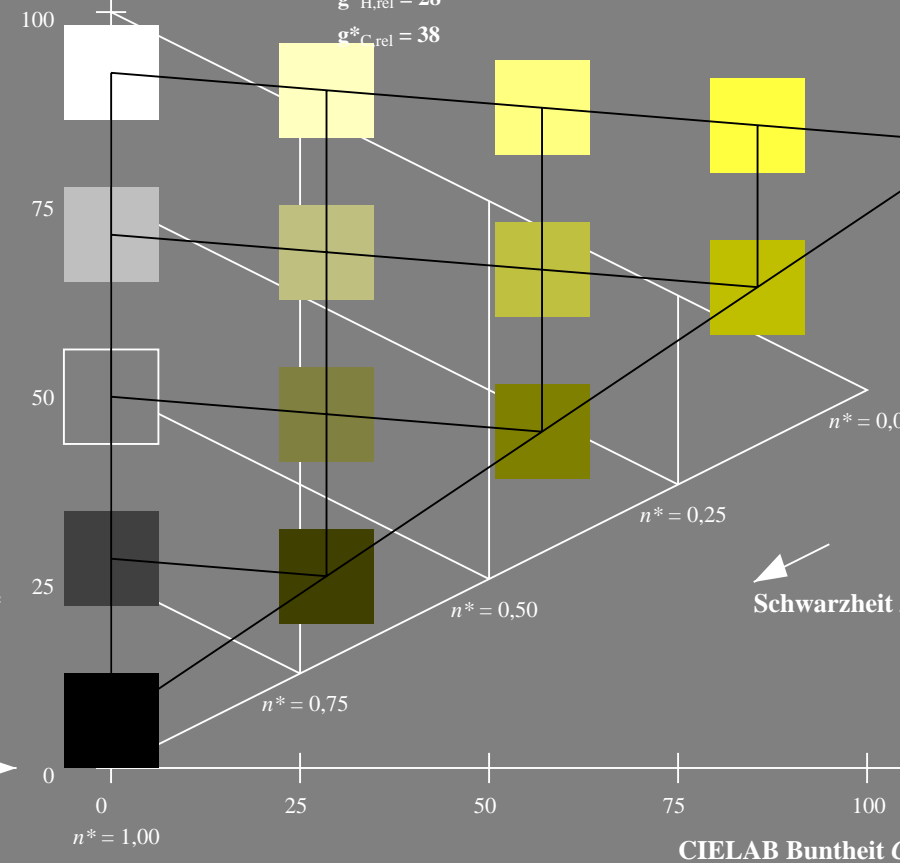
%Umfang

$u^*_{rel} = 115$

%Regularität

$g^*_{H,rel} = 28$

$g^*_{C,rel} = 38$



5 stufige Reihen für konstanten CIELAB Buntton $92/360 = 0.254$ (rechts)

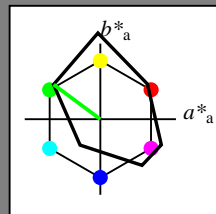
BAM-Prüfvorlage VG22; Farbmétrik-Systeme FRS06 & FRS06 input: olv* setrgbcolor

D65: Koordinatensysteme; 5stufige Farbreihen für 10 Bunttöne output: no change compared to input

Eingabe: Farbmimetrisches Drucker-Reflektiv-System FRS06

für Buntton $h^* = lab^*h = 143/360 = 0.398$
 lab^*tch und lab^*nch

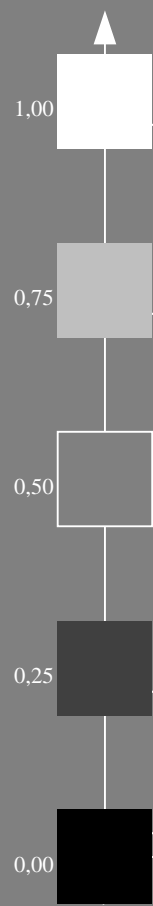
D65: Buntton L
LCH*Ma: 39 77 143
olv*Ma: 0.0 1.0 0.0



FRS06; adaptierte CIELAB-Daten

	$L^*=L^*_a$	a^*_a	b^*_a	$C^*_{ab,a}$	$h^*_{ab,a}$
O _m	32.57	62.32	46.49	77.75	37
Y _m	82.73	-3.16	113.99	114.03	92
L _m	39.43	-61.79	45.84	76.95	143
C _m	47.86	-26.79	-34.24	43.49	232
V _m	10.16	55.12	-61.03	82.24	312
M _m	34.5	80.68	-33.92	87.52	337
N _m	6.25	0.0	0.0	0.0	0
W _m	91.97	0.0	0.0	0.0	0
R _{CIE}	39.92	59.8	31.05	67.38	27
J _{CIE}	81.26	-2.52	76.25	76.29	92
G _{CIE}	52.23	-41.56	17.14	44.96	158
B _{CIE}	30.57	2.63	-43.77	43.86	273

Dreiecks-Helligkeit t^*

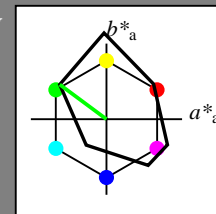


%Umfang
 $u^*_{rel} = 115$
%Regularität
 $g^*_{H,rel} = 28$
 $g^*_{C,rel} = 38$

Ausgabe: Farbmimetrisches Drucker-Reflektiv-System FRS06

für Buntton $h^* = lab^*h = 143/360 = 0.398$
 LAB^*LCH , LAB^*NCH

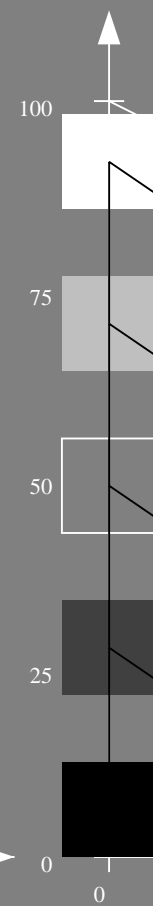
D65: Buntton L
LCH*Ma: 39 77 143
olv*Ma: 0.0 1.0 0.0



FRS06; adaptierte CIELAB-Daten

	$L^*=L^*_a$	a^*_a	b^*_a	$C^*_{ab,a}$	$h^*_{ab,a}$
O _m	32.57	62.32	46.49	77.75	37
Y _m	82.73	-3.16	113.99	114.03	92
L _m	39.43	-61.79	45.84	76.95	143
C _m	47.86	-26.79	-34.24	43.49	232
V _m	10.16	55.12	-61.03	82.24	312
M _m	34.5	80.68	-33.92	87.52	337
N _m	6.25	0.0	0.0	0.0	0
W _m	91.97	0.0	0.0	0.0	0
R _{CIE}	39.92	59.8	31.05	67.38	27
J _{CIE}	81.26	-2.52	76.25	76.29	92
G _{CIE}	52.23	-41.56	17.14	44.96	158
B _{CIE}	30.57	2.63	-43.77	43.86	273

CIELAB-Helligkeit L^*



%Umfang
 $u^*_{rel} = 115$
%Regularität
 $g^*_{H,rel} = 28$
 $g^*_{C,rel} = 38$

VG220-7, 5 stufige Reihen für konstanten CIELAB Buntton 143/360 = 0.398 (links)

5 stufige Reihen für konstanten CIELAB Buntton 143/360 = 0.398 (rechts)

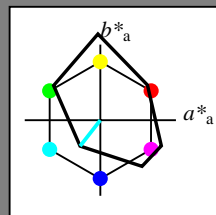
BAM-Prüfvorlage VG22; Farbmimetrik-Systeme FRS06 & FRS06 input: olv* setrgbcolor

D65: Koordinatensysteme; 5stufige Farbreihen für 10 Bunttöne output: no change compared to input

Eingabe: Farbmimetrisches Drucker-Reflektiv-System FRS06

für Buntton $h^* = lab^*h = 232/360 = 0.644$
 lab^*tch und lab^*nch

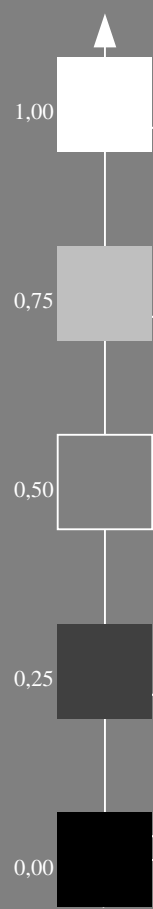
D65: Buntton C
LCH*Ma: 48 43 232
olv*Ma: 0.0 1.0 1.0



FRS06; adaptierte CIELAB-Daten

	$L^*=L^*_a$	a^*_a	b^*_a	$C^*_{ab,a}$	$h^*_{ab,a}$
O _m	32.57	62.32	46.49	77.75	37
Y _m	82.73	-3.16	113.99	114.03	92
L _m	39.43	-61.79	45.84	76.95	143
C _m	47.86	-26.79	-34.24	43.49	232
V _m	10.16	55.12	-61.03	82.24	312
M _m	34.5	80.68	-33.92	87.52	337
N _m	6.25	0.0	0.0	0.0	0
W _m	91.97	0.0	0.0	0.0	0
R _{CIE}	39.92	59.8	31.05	67.38	27
J _{CIE}	81.26	-2.52	76.25	76.29	92
G _{CIE}	52.23	-41.56	17.14	44.96	158
B _{CIE}	30.57	2.63	-43.77	43.86	273

Dreiecks-Helligkeit t^*



%Umfang

$u^*_{rel} = 115$

%Regularität

$g^*_{H,rel} = 28$

$g^*_{C,rel} = 38$

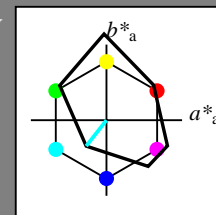
Schwarzheit n^*

VG220-7, 5 stufige Reihen für konstanten CIELAB Buntton 232/360 = 0.644 (links)

Ausgabe: Farbmimetrisches Drucker-Reflektiv-System FRS06

für Buntton $h^* = lab^*h = 232/360 = 0.644$
 LAB^*LCH , LAB^*NCH

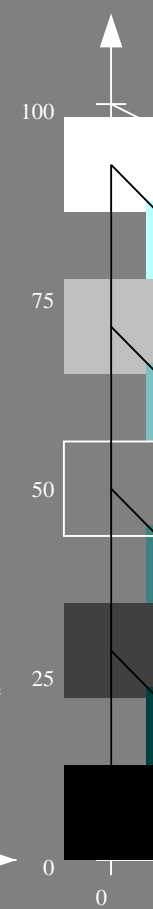
D65: Buntton C
LCH*Ma: 48 43 232
olv*Ma: 0.0 1.0 1.0



FRS06; adaptierte CIELAB-Daten

	$L^*=L^*_a$	a^*_a	b^*_a	$C^*_{ab,a}$	$h^*_{ab,a}$
O _m	32.57	62.32	46.49	77.75	37
Y _m	82.73	-3.16	113.99	114.03	92
L _m	39.43	-61.79	45.84	76.95	143
C _m	47.86	-26.79	-34.24	43.49	232
V _m	10.16	55.12	-61.03	82.24	312
M _m	34.5	80.68	-33.92	87.52	337
N _m	6.25	0.0	0.0	0.0	0
W _m	91.97	0.0	0.0	0.0	0
R _{CIE}	39.92	59.8	31.05	67.38	27
J _{CIE}	81.26	-2.52	76.25	76.29	92
G _{CIE}	52.23	-41.56	17.14	44.96	158
B _{CIE}	30.57	2.63	-43.77	43.86	273

CIELAB-Helligkeit L^*



%Umfang

$u^*_{rel} = 115$

%Regularität

$g^*_{H,rel} = 28$

$g^*_{C,rel} = 38$

Schwarzheit n^*

5 stufige Reihen für konstanten CIELAB Buntton 232/360 = 0.644 (rechts)

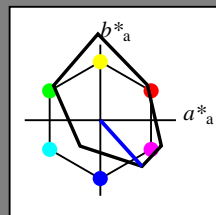
BAM-Prüfvorlage VG22; Farbmimetrik-Systeme FRS06 & FRS06 input: olv* setrgbcolor

D65: Koordinatensysteme; 5stufige Farbreihen für 10 Bunttöne output: no change compared to input

Eingabe: Farbmimetrisches Drucker-Reflektiv-System FRS06

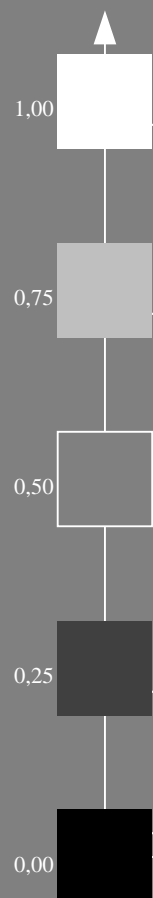
für Buntton $h^* = lab \cdot h = 312/360 = 0.867$
 $lab \cdot tch$ und $lab \cdot nch$

D65: Buntton V
LCH*Ma: 10 82 312
olv*Ma: 0.0 0.0 1.0



FRS06; adaptierte CIELAB-Daten					
	$L^*=L_a^*$	a_a^*	b_a^*	$C_{ab,a}^*$	$h_{ab,a}^*$
O _m	32.57	62.32	46.49	77.75	37
Y _m	82.73	-3.16	113.99	114.03	92
L _m	39.43	-61.79	45.84	76.95	143
C _m	47.86	-26.79	-34.24	43.49	232
V _m	10.16	55.12	-61.03	82.24	312
M _m	34.5	80.68	-33.92	87.52	337
N _m	6.25	0.0	0.0	0.0	0
W _m	91.97	0.0	0.0	0.0	0
R _{CIE}	39.92	59.8	31.05	67.38	27
J _{CIE}	81.26	-2.52	76.25	76.29	92
G _{CIE}	52.23	-41.56	17.14	44.96	158
B _{CIE}	30.57	2.63	-43.77	43.86	273

Dreiecks-Helligkeit t^*



%Umfang
 $u_{rel}^* = 115$
%Regularität
 $g_{H,rel}^* = 28$
 $g_{C,rel}^* = 38$

$n^* = 0.00$
 $n^* = 0.25$
 $n^* = 0.50$
Schwarzheit n^*

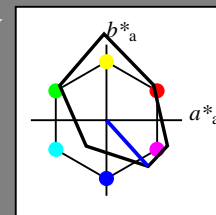
relative Bunttheit c^*

VG220-7, 5 stufige Reihen für konstanten CIELAB Buntton 312/360 = 0.867 (links)

Ausgabe: Farbmimetrisches Drucker-Reflektiv-System FRS06

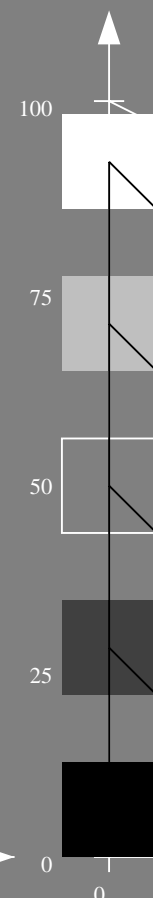
für Buntton $h^* = lab \cdot h = 312/360 = 0.867$
 $LAB \cdot LCH$, $LAB \cdot NCH$

D65: Buntton V
LCH*Ma: 10 82 312
olv*Ma: 0.0 0.0 1.0



FRS06; adaptierte CIELAB-Daten					
	$L^*=L_a^*$	a_a^*	b_a^*	$C_{ab,a}^*$	$h_{ab,a}^*$
O _m	32.57	62.32	46.49	77.75	37
Y _m	82.73	-3.16	113.99	114.03	92
L _m	39.43	-61.79	45.84	76.95	143
C _m	47.86	-26.79	-34.24	43.49	232
V _m	10.16	55.12	-61.03	82.24	312
M _m	34.5	80.68	-33.92	87.52	337
N _m	6.25	0.0	0.0	0.0	0
W _m	91.97	0.0	0.0	0.0	0
R _{CIE}	39.92	59.8	31.05	67.38	27
J _{CIE}	81.26	-2.52	76.25	76.29	92
G _{CIE}	52.23	-41.56	17.14	44.96	158
B _{CIE}	30.57	2.63	-43.77	43.86	273

CIELAB-Helligkeit L^*



%Umfang
 $u_{rel}^* = 115$
%Regularität
 $g_{H,rel}^* = 28$
 $g_{C,rel}^* = 38$

$n^* = 0.00$
 $n^* = 0.25$
 $n^* = 0.50$
 $n^* = 0.75$
 $n^* = 1.00$
Schwarzheit n^*

CIELAB Bunttheit C_{ab}^*

5 stufige Reihen für konstanten CIELAB Buntton 312/360 = 0.867 (rechts)

BAM-Prüfvorlage VG22; Farbmimetrik-Systeme FRS06 & FRS06 input: olv* setrgbcolor

D65: Koordinatensysteme; 5stufige Farbreihen für 10 Bunttöne output: no change compared to input

Eingabe: Farbmétrisches Drucker-Reflektiv-System FRS06

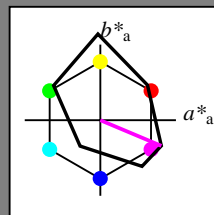
für Buntton $h^* = lab \cdot h = 337/360 = 0.937$

$lab \cdot tch$ und $lab \cdot nch$

D65: Buntton M

LCH*Ma: 35 88 337

olv*Ma: 1.0 0.0 1.0



FRS06; adaptierte CIELAB-Daten

	$L^* = L^*_a$	a^*_a	b^*_a	$C^*_{ab,a}$	$h^*_{ab,a}$
O _m	32.57	62.32	46.49	77.75	37
Y _m	82.73	-3.16	113.99	114.03	92
L _m	39.43	-61.79	45.84	76.95	143
C _m	47.86	-26.79	-34.24	43.49	232
V _m	10.16	55.12	-61.03	82.24	312
M _m	34.5	80.68	-33.92	87.52	337
N _m	6.25	0.0	0.0	0.0	0
W _m	91.97	0.0	0.0	0.0	0
R _{CIE}	39.92	59.8	31.05	67.38	27
J _{CIE}	81.26	-2.52	76.25	76.29	92
G _{CIE}	52.23	-41.56	17.14	44.96	158
B _{CIE}	30.57	2.63	-43.77	43.86	273

Dreiecks-Helligkeit t^*

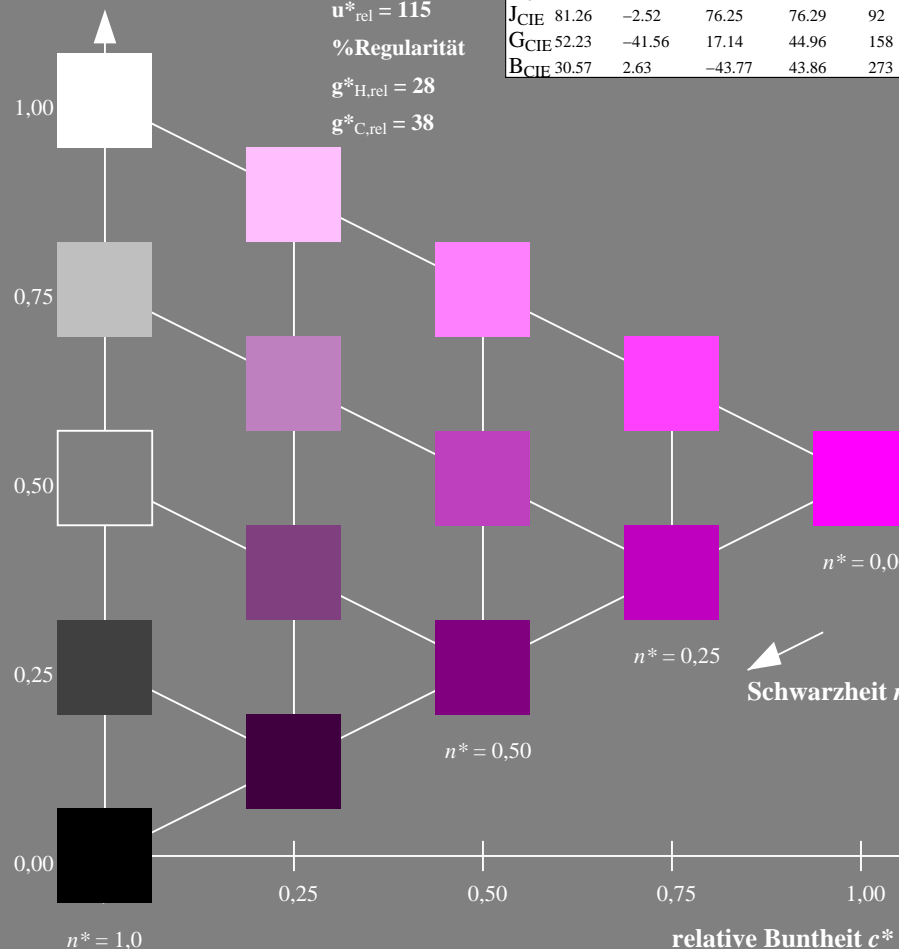
%Umfang

$u^*_{rel} = 115$

%Regularität

$g^*_{H,rel} = 28$

$g^*_{C,rel} = 38$



VG220-7, 5 stufige Reihen für konstanten CIELAB Buntton 337/360 = 0.937 (links)

Ausgabe: Farbmétrisches Drucker-Reflektiv-System FRS06

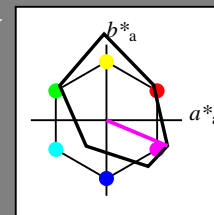
für Buntton $h^* = lab \cdot h = 337/360 = 0.937$

$LAB \cdot LCH$, $LAB \cdot NCH$

D65: Buntton M

LCH*Ma: 35 88 337

olv*Ma: 1.0 0.0 1.0



FRS06; adaptierte CIELAB-Daten

	$L^* = L^*_a$	a^*_a	b^*_a	$C^*_{ab,a}$	$h^*_{ab,a}$
O _m	32.57	62.32	46.49	77.75	37
Y _m	82.73	-3.16	113.99	114.03	92
L _m	39.43	-61.79	45.84	76.95	143
C _m	47.86	-26.79	-34.24	43.49	232
V _m	10.16	55.12	-61.03	82.24	312
M _m	34.5	80.68	-33.92	87.52	337
N _m	6.25	0.0	0.0	0.0	0
W _m	91.97	0.0	0.0	0.0	0
R _{CIE}	39.92	59.8	31.05	67.38	27
J _{CIE}	81.26	-2.52	76.25	76.29	92
G _{CIE}	52.23	-41.56	17.14	44.96	158
B _{CIE}	30.57	2.63	-43.77	43.86	273

CIELAB-Helligkeit L^*

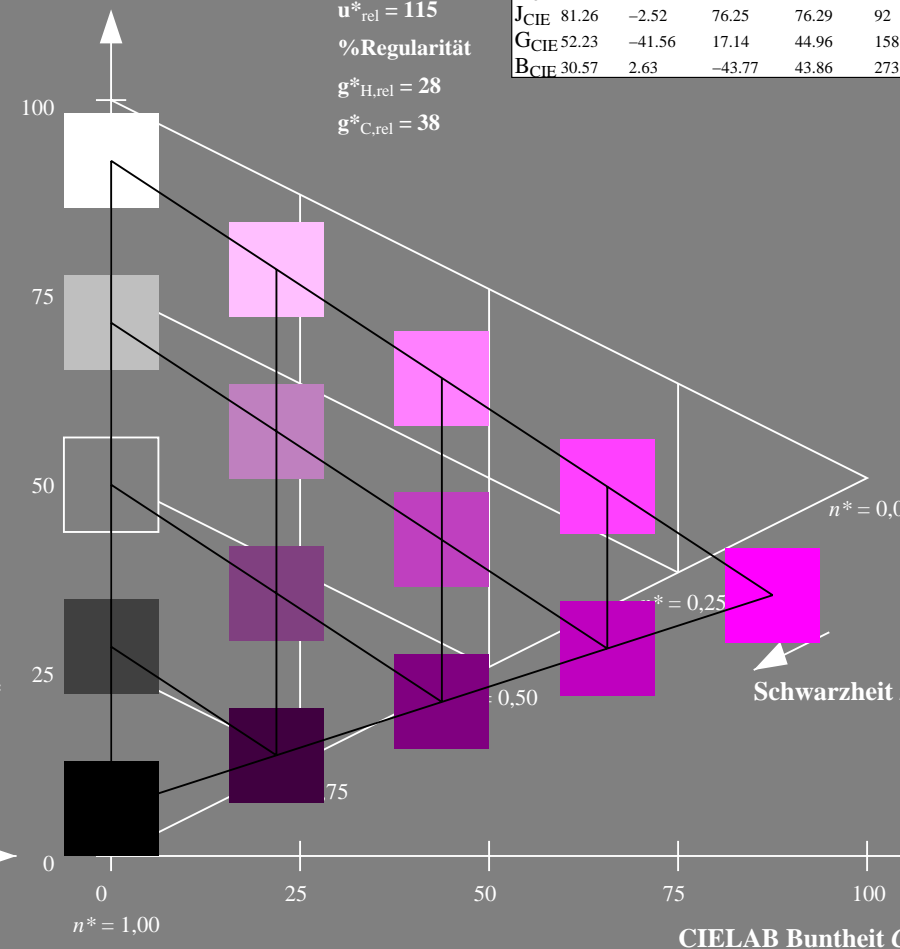
%Umfang

$u^*_{rel} = 115$

%Regularität

$g^*_{H,rel} = 28$

$g^*_{C,rel} = 38$



5 stufige Reihen für konstanten CIELAB Buntton 337/360 = 0.937 (rechts)

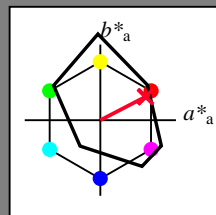
BAM-Prüfvorlage VG22; Farbmétrik-Systeme FRS06 & FRS06 input: olv* setrgbcolor

D65: Koordinatensysteme; 5stufige Farbreihen für 10 Bunttöne output: no change compared to input

Eingabe: Farbmétrisches Drucker-Reflektiv-System FRS06

für Buntton $h^* = lab^*h = 27/360 = 0.076$
 lab^*tch und lab^*nch

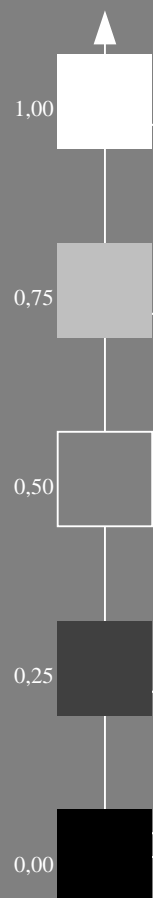
D65: Buntton R
LCH*Ma: 33 73 27
olv*Ma: 1.0 0.0 0.16



FRS06; adaptierte CIELAB-Daten

	$L^*=L^*_a$	a^*_a	b^*_a	$C^*_{ab,a}$	$h^*_{ab,a}$
O _m	32.57	62.32	46.49	77.75	37
Y _m	82.73	-3.16	113.99	114.03	92
L _m	39.43	-61.79	45.84	76.95	143
C _m	47.86	-26.79	-34.24	43.49	232
V _m	10.16	55.12	-61.03	82.24	312
M _m	34.5	80.68	-33.92	87.52	337
N _m	6.25	0.0	0.0	0.0	0
W _m	91.97	0.0	0.0	0.0	0
R _m	39.92	59.8	31.05	67.38	27
J _m	81.26	-2.52	76.25	76.29	92
G _m	52.23	-41.56	17.14	44.96	158
B _m	30.57	2.63	-43.77	43.86	273

Dreiecks-Helligkeit t^*



%Umfang

$u^*_{rel} = 115$

%Regularität

$g^*_{H,rel} = 28$

$g^*_{C,rel} = 38$

R_{CIE}

$n^* = 0,00$

$n^* = 0,25$

$n^* = 0,50$

Schwarzheit n^*

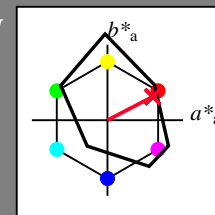
relative Buntheit c^*

VG220-7, 5 stufige Reihen für konstanten CIELAB Buntton 27/360 = 0.076 (links)

Ausgabe: Farbmétrisches Drucker-Reflektiv-System FRS06

für Buntton $h^* = lab^*h = 27/360 = 0.076$
 LAB^*LCH , LAB^*NCH

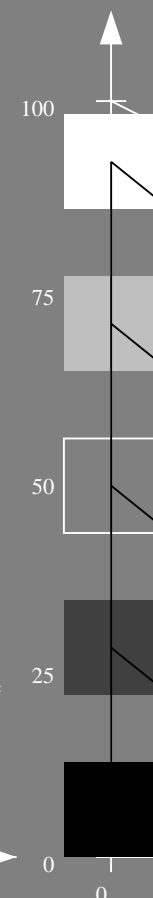
D65: Buntton R
LCH*Ma: 33 73 27
olv*Ma: 1.0 0.0 0.16



FRS06; adaptierte CIELAB-Daten

	$L^*=L^*_a$	a^*_a	b^*_a	$C^*_{ab,a}$	$h^*_{ab,a}$
O _m	32.57	62.32	46.49	77.75	37
Y _m	82.73	-3.16	113.99	114.03	92
L _m	39.43	-61.79	45.84	76.95	143
C _m	47.86	-26.79	-34.24	43.49	232
V _m	10.16	55.12	-61.03	82.24	312
M _m	34.5	80.68	-33.92	87.52	337
N _m	6.25	0.0	0.0	0.0	0
W _m	91.97	0.0	0.0	0.0	0
R _m	39.92	59.8	31.05	67.38	27
J _m	81.26	-2.52	76.25	76.29	92
G _m	52.23	-41.56	17.14	44.96	158
B _m	30.57	2.63	-43.77	43.86	273

CIELAB-Helligkeit L^*



%Umfang

$u^*_{rel} = 115$

%Regularität

$g^*_{H,rel} = 28$

$g^*_{C,rel} = 38$

R_{CIE}

$n^* = 0,00$

$n^* = 0,25$

$n^* = 0,50$

Schwarzheit n^*

CIELAB Buntheit C^*_{ab}

5 stufige Reihen für konstanten CIELAB Buntton 27/360 = 0.076 (rechts)

BAM-Prüfvorlage VG22; Farbmétrik-Systeme FRS06 & FRS06 input: olv* setrgbcolor

D65: Koordinatensysteme; 5stufige Farbreihen für 10 Bunttöne output: no change compared to input

Eingabe: Farbmétrisches Drucker-Reflektiv-System FRS06

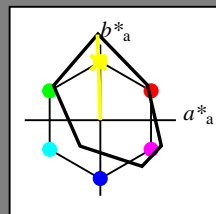
für Buntton $h^* = lab \cdot h = 92/360 = 0.255$

$lab \cdot tch$ und $lab \cdot nch$

D65: Buntton J

LCH*Ma: 82 113 92

olv*Ma: 0.99 1.0 0.0



FRS06; adaptierte CIELAB-Daten

	$L^*=L^*_a$	a^*_a	b^*_a	$C^*_{ab,a}$	$h^*_{ab,a}$
O _m	32.57	62.32	46.49	77.75	37
Y _m	82.73	-3.16	113.99	114.03	92
L _m	39.43	-61.79	45.84	76.95	143
C _m	47.86	-26.79	-34.24	43.49	232
V _m	10.16	55.12	-61.03	82.24	312
M _m	34.5	80.68	-33.92	87.52	337
N _m	6.25	0.0	0.0	0.0	0
W _m	91.97	0.0	0.0	0.0	0
R _m	39.92	59.8	31.05	67.38	27
J _m	81.26	-2.52	76.25	76.29	92
G _m	52.23	-41.56	17.14	44.96	158
B _m	30.57	2.63	-43.77	43.86	273

Dreiecks-Helligkeit t^*

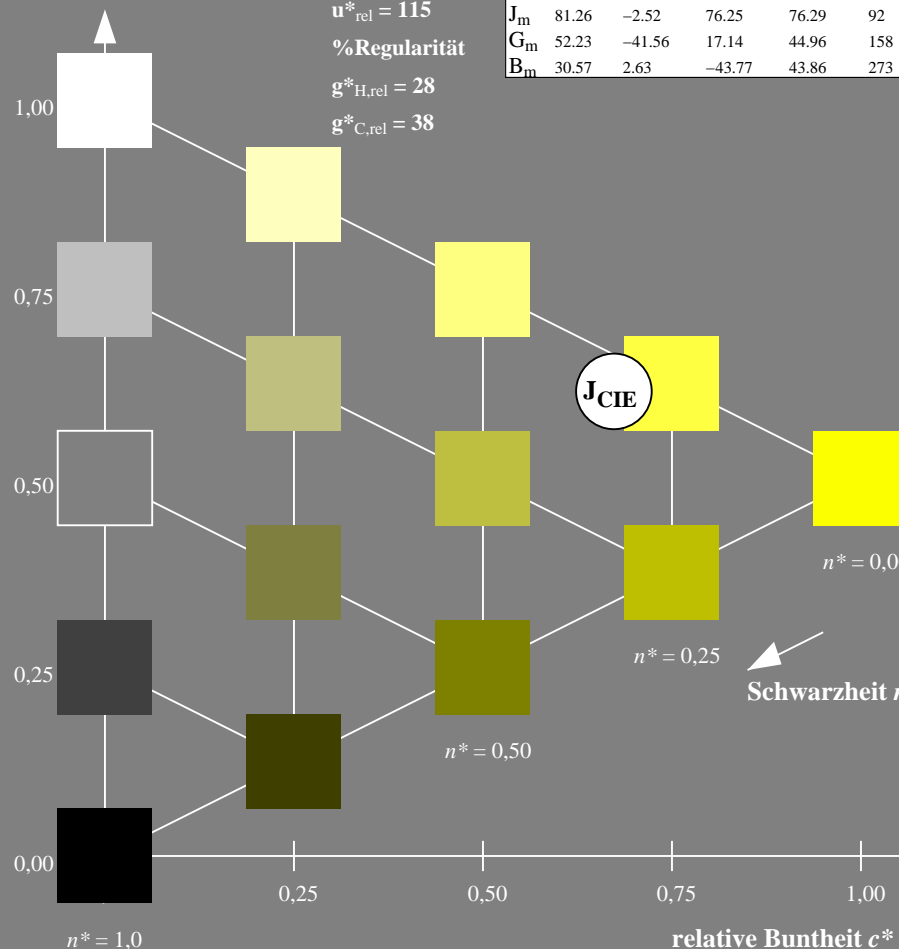
%Umfang

$u^*_{rel} = 115$

%Regularität

$g^*_{H,rel} = 28$

$g^*_{C,rel} = 38$



VG220-7, 5 stufige Reihen für konstanten CIELAB Buntton $92/360 = 0.255$ (links)

Ausgabe: Farbmétrisches Drucker-Reflektiv-System FRS06

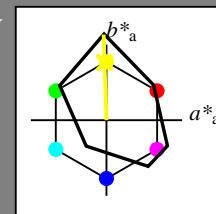
für Buntton $h^* = lab \cdot h = 92/360 = 0.255$

$LAB \cdot LCH$, $LAB \cdot NCH$

D65: Buntton J

LCH*Ma: 82 113 92

olv*Ma: 0.99 1.0 0.0



FRS06; adaptierte CIELAB-Daten

	$L^*=L^*_a$	a^*_a	b^*_a	$C^*_{ab,a}$	$h^*_{ab,a}$
O _m	32.57	62.32	46.49	77.75	37
Y _m	82.73	-3.16	113.99	114.03	92
L _m	39.43	-61.79	45.84	76.95	143
C _m	47.86	-26.79	-34.24	43.49	232
V _m	10.16	55.12	-61.03	82.24	312
M _m	34.5	80.68	-33.92	87.52	337
N _m	6.25	0.0	0.0	0.0	0
W _m	91.97	0.0	0.0	0.0	0
R _m	39.92	59.8	31.05	67.38	27
J _m	81.26	-2.52	76.25	76.29	92
G _m	52.23	-41.56	17.14	44.96	158
B _m	30.57	2.63	-43.77	43.86	273

CIELAB-Helligkeit L^*

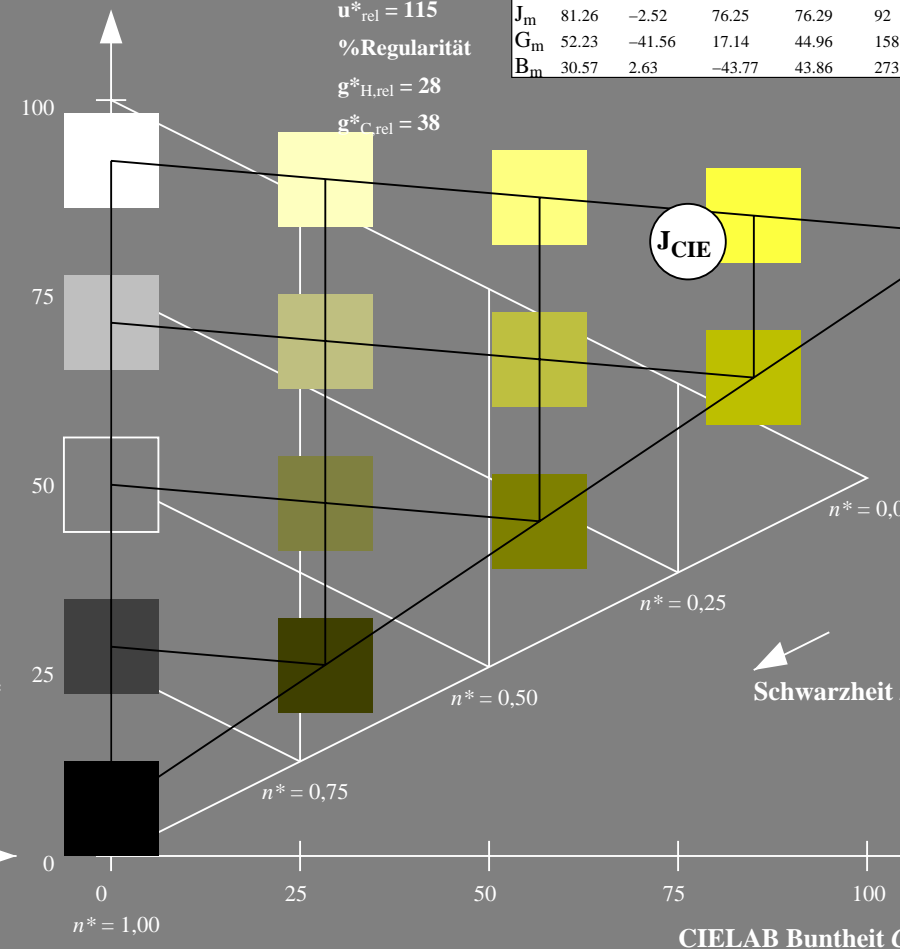
%Umfang

$u^*_{rel} = 115$

%Regularität

$g^*_{H,rel} = 28$

$g^*_{C,rel} = 38$



5 stufige Reihen für konstanten CIELAB Buntton $92/360 = 0.255$ (rechts)

BAM-Prüfvorlage VG22; Farbmétrik-Systeme FRS06 & FRS06 input: olv* setrgbcolor

D65: Koordinatensysteme; 5stufige Farbreihen für 10 Bunttöne output: no change compared to input

Eingabe: Farbmetrisches Drucker-Reflektiv-System FRS06

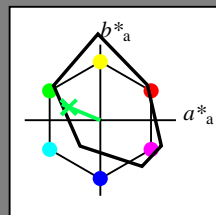
für Buntton $h^* = lab^*h = 158/360 = 0.438$

lab^*tch und lab^*nch

D65: Buntton G

LCH*Ma: 42 55 158

olv*Ma: 0.0 1.0 0.31



FRS06; adaptierte CIELAB-Daten

	$L^*=L^*_a$	a^*_a	b^*_a	$C^*_{ab,a}$	$h^*_{ab,a}$
O _m	32.57	62.32	46.49	77.75	37
Y _m	82.73	-3.16	113.99	114.03	92
L _m	39.43	-61.79	45.84	76.95	143
C _m	47.86	-26.79	-34.24	43.49	232
V _m	10.16	55.12	-61.03	82.24	312
M _m	34.5	80.68	-33.92	87.52	337
N _m	6.25	0.0	0.0	0.0	0
W _m	91.97	0.0	0.0	0.0	0
R _m	39.92	59.8	31.05	67.38	27
J _m	81.26	-2.52	76.25	76.29	92
G _m	52.23	-41.56	17.14	44.96	158
B _m	30.57	2.63	-43.77	43.86	273

Dreiecks-Helligkeit t^*

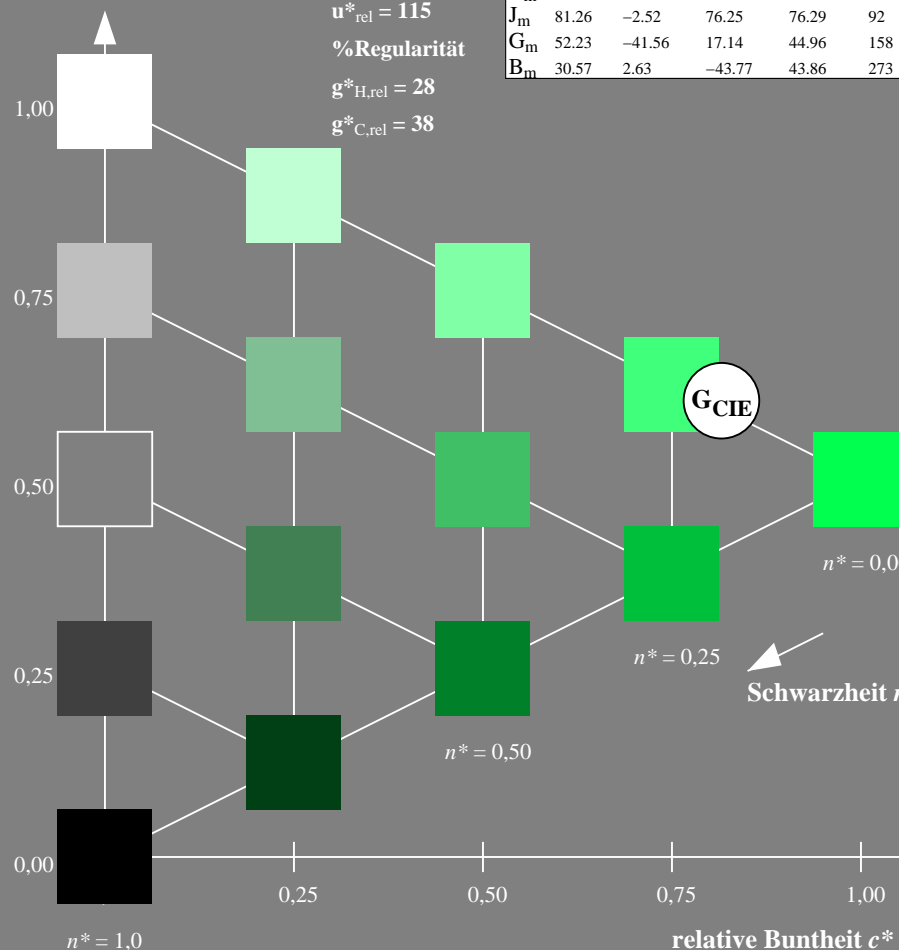
%Umfang

$u^*_{rel} = 115$

%Regularität

$g^*_{H,rel} = 28$

$g^*_{C,rel} = 38$



VG220-7, 5 stufige Reihen für konstanten CIELAB Buntton 158/360 = 0.438 (links)

Ausgabe: Farbmetrisches Drucker-Reflektiv-System FRS06

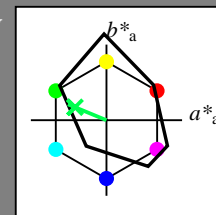
für Buntton $h^* = lab^*h = 158/360 = 0.438$

LAB^*LCH , LAB^*NCH

D65: Buntton G

LCH*Ma: 42 55 158

olv*Ma: 0.0 1.0 0.31



FRS06; adaptierte CIELAB-Daten

	$L^*=L^*_a$	a^*_a	b^*_a	$C^*_{ab,a}$	$h^*_{ab,a}$
O _m	32.57	62.32	46.49	77.75	37
Y _m	82.73	-3.16	113.99	114.03	92
L _m	39.43	-61.79	45.84	76.95	143
C _m	47.86	-26.79	-34.24	43.49	232
V _m	10.16	55.12	-61.03	82.24	312
M _m	34.5	80.68	-33.92	87.52	337
N _m	6.25	0.0	0.0	0.0	0
W _m	91.97	0.0	0.0	0.0	0
R _m	39.92	59.8	31.05	67.38	27
J _m	81.26	-2.52	76.25	76.29	92
G _m	52.23	-41.56	17.14	44.96	158
B _m	30.57	2.63	-43.77	43.86	273

CIELAB-Helligkeit L^*

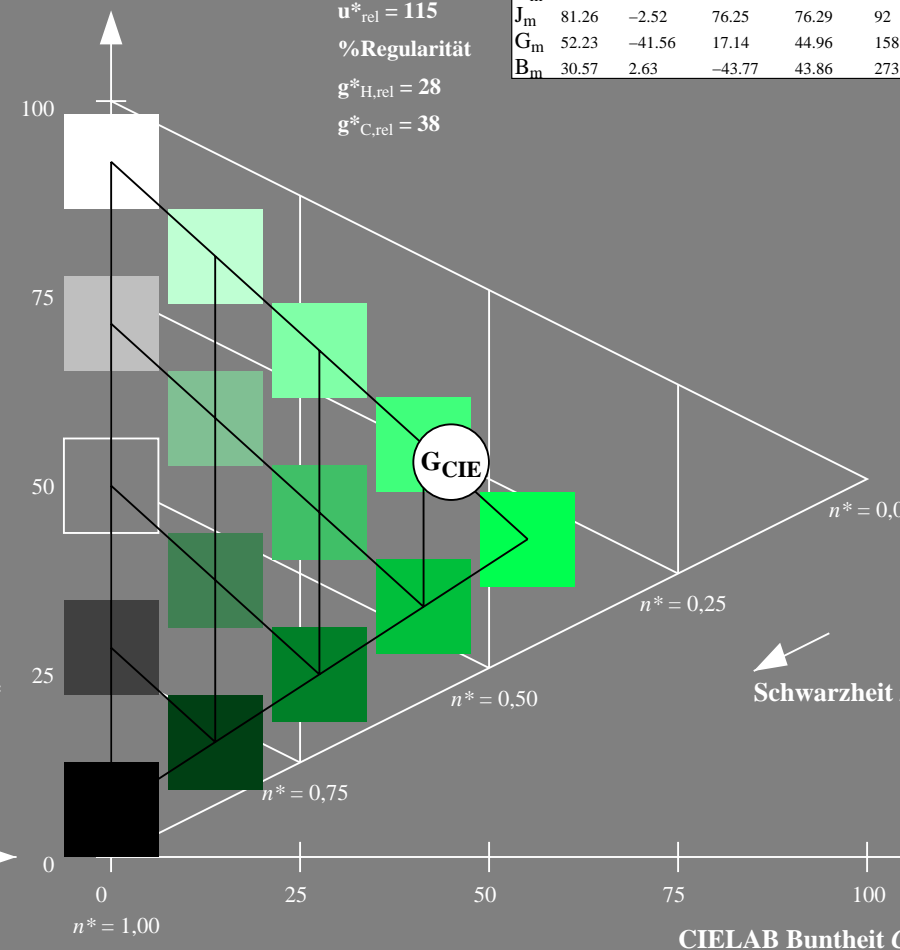
%Umfang

$u^*_{rel} = 115$

%Regularität

$g^*_{H,rel} = 28$

$g^*_{C,rel} = 38$



5 stufige Reihen für konstanten CIELAB Buntton 158/360 = 0.438 (rechts)

BAM-Prüfvorlage VG22; Farbmetrik-Systeme FRS06 & FRS06 input: olv* setrgbcolor

D65: Koordinatensysteme; 5stufige Farbreihen für 10 Bunttöne output: no change compared to input

-Siehe ähnliche Dateien: <http://www.ps.bam.de/VG22/>
Technische Information: <http://www.ps.bam.de> Version 2.1, io=1,1

BAM-Registrierung: 20060101-VG22/10L/L22G09NP.PS/.PDF BAM-Material: Code=rha4ta
Anwendung für Beurteilung und Messung von Drucker- oder Monitorsystemen
VG22/ Form: 1010Seite: 1/1 Seite: 10 Seiten hinte 1

Eingabe: Farbmétrisches Drucker-Reflektiv-System FRS06

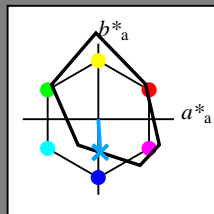
für Buntton $h^* = lab^*h = 273/360 = 0.76$

*lab*tch* und *lab*nch*

D65: Buntton B

LCH*Ma: 34 44 273

olv*Ma: 0.0 0.64 1.0

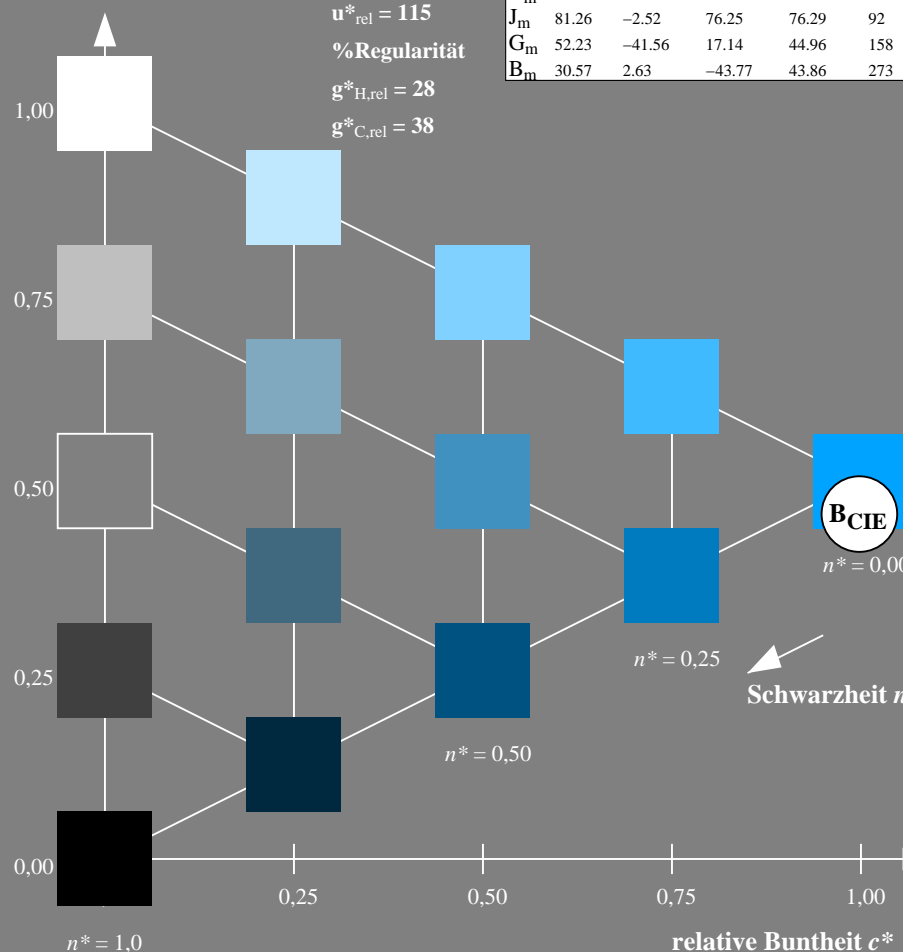


Dreiecks-Helligkeit t^*

%Umfang

$$\mathbf{u}_{\text{rel}}^* = 115$$

%Regularität

$$g^*_{H,rel} = 28$$
$$g^*_{C,rel} = 38$$
VG220-7, 5 stufige Reihen für konstanten CIELAB Buntton $273/360 = 0.76$ (links)

Ausgabe: Farbmetrisches Drucker-Reflektiv-System FRS06

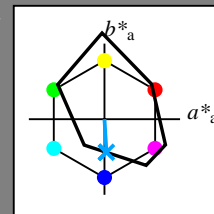
für Buntton $h^* = lab^*h = 273/360 = 0.76$

*LAB*LCH, LAB*NCH*

D65: Buntton B

LCH*Ma: 34 44 273

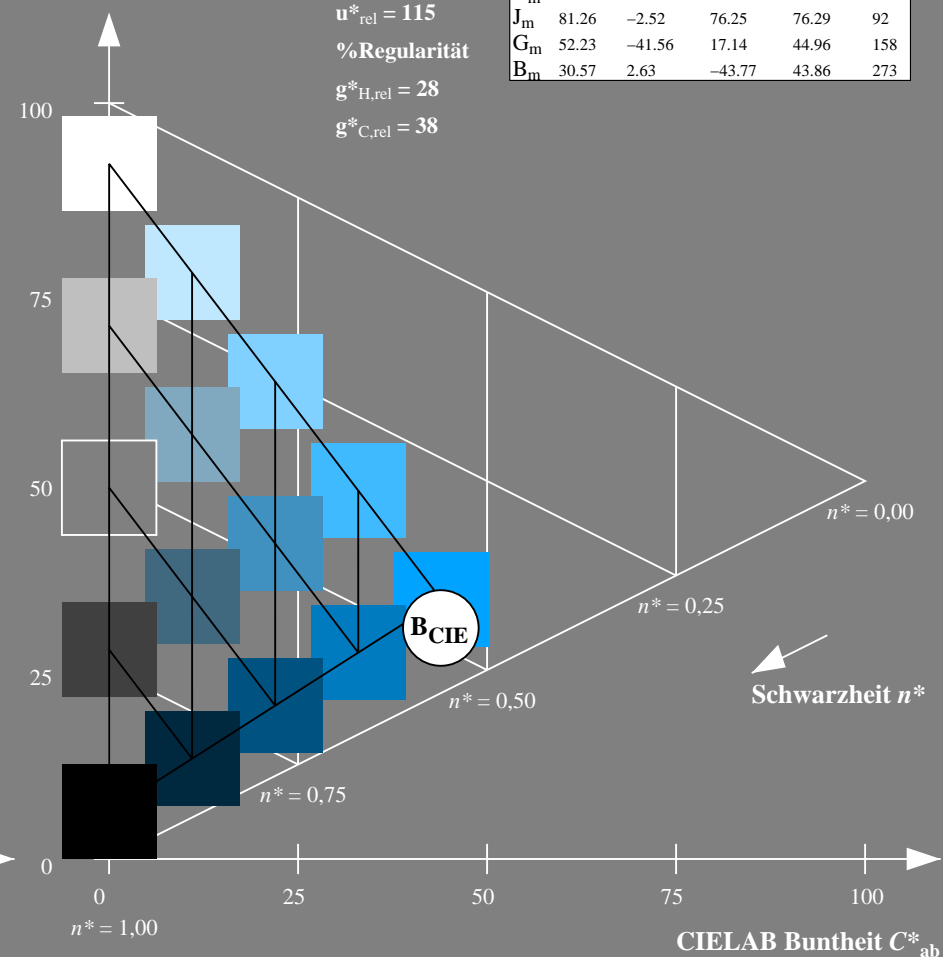
olv*Ma: 0.0 0.64 1.0

CIELAB-Helligkeit L^*

%Umfang

$$\mathbf{u}_{\text{rel}}^* = 115$$

%Regularität

$$g^*_{H,rel} = 28$$
$$g^*_{C,rel} = 38$$
5 stufige Reihen für konstanten CIELAB Buntton $273/360 = 0.76$ (rechts)

BAM-Prüfvorlage VG22; Farbmatrik-Systeme FRS06 & FRS06 input: *olv* setrgbcolor*

D65: Koordinatensysteme; 5stufige Farbreihen für 10 Bunttöne output: *no change compared to input*